

УДК 532.593+538.5.54+621.3.08

## ВЛИЯНИЕ ЭЛЕКТРОПРОВОДНОСТИ И ТОЛЩИНЫ ПРОВОДЯЩЕЙ ПЛАСТИНЫ НА РЕГИСТРИРУЕМЫЙ СИГНАЛ ИНДУКЦИОННОГО ДАТЧИКА МАССОВОЙ СКОРОСТИ

Ю. Н. Жугин, Ю. Л. Левакова

Всероссийский научно-исследовательский институт технической физики им. Е. И. Забабахина,  
456770 Снежинск

Рассмотрена задача о возмущении магнитного поля витка с постоянным током, расположенного над проводящей пластиной, приводимой в движение плоской ударной волной прямоугольного профиля. Показано, что по регистрируемой с помощью витка электродвижущей силе индукции можно определить не только скорость пластины, но и ее динамическую электропроводность. Получены приближенные расчетные зависимости для скорости пластины при известной ее электропроводности как для проводящего полупространства, так и для пластины с толщиной, сравнимой с толщиной скин-слоя. На основе сопоставления с экспериментальными данными и уточнения расчетных зависимостей сделан вывод о том, что предлагаемые в работе подходы могут быть использованы для определения электропроводности металлов в ударно-волновых процессах.

**Введение.** В [1] для регистрации кратковременных процессов, происходящих при ударном сжатии конденсированных сред, предложен индукционный датчик. На его основе в [2] разработан индукционный метод непрерывной регистрации скорости конденсированных сред в ударно-волновых процессах. Принцип действия индукционного датчика основан на осциллографической регистрации электродвижущей силы (ЭДС) индукции, возникающей в катушке (датчике) с постоянным током, расположенной над проводящей пластиной, после приведения пластины в движение ударной волной. Диаметр пластины, ее электропроводность и толщина (0,2–0,3 мм для меди и алюминия) достаточно велики. Изменение магнитного потока через контур датчика обусловлено нестационарными вихревыми токами, возникающими в меняющую свою толщину поверхностном слое металлической пластины (нестационарный скин-эффект). Экспериментально показано [2], что пластины достаточно большой толщины из меди и алюминия в интересующие нас интервалы времени лабораторного эксперимента в расчетах можно приближенно считать идеально проводящими. В то же время для свинца и висмута, обладающих существенно меньшими электропроводностями, это предположение неверно, и при получении соответствующих расчетных зависимостей необходимо учитывать конечность их электропроводности.

При использовании пластин с толщиной, меньшей толщины нестационарного скин-слоя, экспериментально наблюдается эффект диффузии магнитного поля через движущуюся пластину, проявляющийся в снижении амплитуды регистрируемого сигнала. При неизменной скорости пластины снижение тем больше, чем тоньше пластина и меньше ее электропроводность. Заметное снижение амплитуды регистрируемого сигнала наблюдается и в случае полупространства с электропроводностью, существенно меньшей, чем у алюминия и меди.

Электромагнитный метод измерения параметров ударно-сжатых сред, по физическим принципам близкий к индукционному методу, рассмотрен в [3]. В [3] также приведена формула, полученная методом изображений и позволяющая измерять массовую скорость

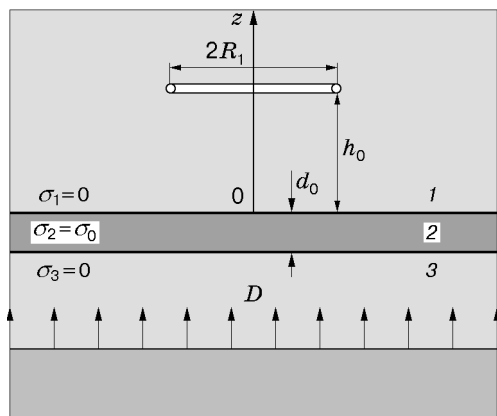


Рис. 1. Расчетная схема

и электропроводность металлических пленок с пренебрежимо малой толщиной в слоистой системе диэлектрик — пленка — диэлектрик. Однако экспериментальных данных в случае применения такой системы для измерения массовой скорости и электропроводности в работе [3] не представлено.

Цель настоящей работы состоит в получении (с использованием отличного от [3] подхода) расчетных зависимостей для ЭДС индукции, учитывающих конечность электропроводности металлических пластин различной толщины. Как отмечалось в [4], полное решение подобных задач невозможно без громоздких численных расчетов. Это обстоятельство обуславливает необходимость использования приближенных подходов, позволяющих учесть основные особенности взаимодействия движущихся проводников с электромагнитными полями, что удобно для решения прикладных задач.

**1. Постановка задачи.** Виток радиуса  $R_1$  с пренебрежимо малым сечением провода подключен к стабилизированному источнику постоянного тока и расположен в конденсированной диэлектрической среде 1 на высоте  $h_0$  над проводящей пластиной толщиной  $d_0$  (среда 2) с электропроводностью  $\sigma_0$ , во всем пространстве установилось стационарное магнитное поле (рис. 1). Магнитная проницаемость сред равна  $\mu\mu_0$  ( $\mu = 1$ ;  $\mu_0$  — магнитная проницаемость вакуума).

По среде 3 снизу вверх с волновой скоростью  $D$  распространяется плоская ударная волна, фронт которой параллелен границе раздела сред. Взаимодействие движущегося ударно-сжатого диэлектрика с магнитным полем практически отсутствует [2, 5], если магнитное число Рейнольдса  $Re_m = \mu_0\sigma u R_1 \ll 1$ , что при массовой скорости  $u = 5 \times 10^3$  м/с эквивалентно условию  $\sigma \ll 10^4$  (Ом · м)<sup>-1</sup>. Для большинства конденсированных диэлектриков последнее условие выполняется в широком диапазоне значений давления ударного сжатия.

Задача о распространении ударной волны в неограниченном проводнике при наличии магнитного поля рассматривалась в [4, 6]. Показано, что при бесконечной проводимости металла магнитное поле перед ударной волной остается неизменным. В случае конечной проводимости ударная волна влияет на проводник перед ней в прилегающем слое толщиной  $l \approx 1/(\mu_0\sigma D)$ . Ширина электромагнитной волны в меди составляет 2,5 мкм ( $D = 5 \cdot 10^3$  м/с), в алюминии — 4 мкм, в свинце — 30 мкм. Очевидно, что для данных металлов виток практически не реагирует на движение ударной волны по проводнику вплоть до ее выхода на границу раздела сред 1 и 2.

Известно, что характерное время, за которое затухает или диффундирует магнитное поле,  $t \approx \mu_0\sigma\zeta^2$  ( $\zeta$  — расстояние, на котором магнитное поле заметно изменяется) [5]. В данном случае изменение поля начинается с поверхности проводника. При распаде разрыва на границе сред 1 и 2 отраженная волна в проводнике (например, в меди) за время  $t$

распространяется на толщину примерно  $D_1 t$ , а через время  $t \geq \tau = 1/(\mu_0 \sigma D_1^2) \simeq 5 \times 10^{-4}$  мкс — уже на толщину  $D_1 t \geq \zeta$ .

Предположим, что в момент времени  $t = 0$  вся пластина сжимается в  $\delta$  раз и в направлении витка приобретает массовую скорость  $u$ , обусловленную выходом ударной волны на границу раздела сред 1 и 2. В экспериментах [2] с помощью индукционного датчика изучалось поведение металлов, находящихся под давлением  $10 \div 20$  ГПа при значениях  $\delta \simeq 1,1 \div 1,2$ . Искажениями магнитного поля, обусловленными эффектами “вмороженности” магнитного поля в проводник с высокой электропроводностью, можно пренебречь, т. е. считать, что магнитное поле в сжатом металле при  $t = +0$  определяется начальным магнитным полем витка с постоянным током.

Для решения поставленной задачи используется цилиндрическая система координат, связанная с поверхностью проводника (рис. 1). В этой системе координат виток с постоянным током приближается к границе раздела сред 1 и 2 со скоростью  $u$ , обуславливая тем самым переменность магнитного поля на поверхности проводника и как следствие возникновение в поверхностном слое нестационарных концентрических вихревых токов. Они вызывают изменение поля в среде 1 и появление в витке ЭДС индукции, зависящей от скорости движения проводника, его электропроводности и толщины пластины (достаточно малой).

**2. Уравнение Гельмгольца для вектор-потенциала электромагнитного поля. Квазистационарное поле.** В случае переменных полей для неподвижных, однородных и изотропных сред с постоянными по объему значениями  $\varepsilon$ ,  $\mu$ ,  $\sigma$  уравнение Гельмгольца (при использовании системы единиц СИ) имеет вид

$$\Delta \mathbf{A} - \varepsilon_0 \varepsilon \frac{\partial^2 \mathbf{A}}{\partial t^2} - \mu_0 \mu \sigma \frac{\partial \mathbf{A}}{\partial t} = -\mu_0 \mu \mathbf{j}_{(e)},$$

где  $\mathbf{A}$  — вектор-потенциал электромагнитного поля;  $\mathbf{j}_{(e)}$  — плотность сторонних токов;  $t$  — время;  $\varepsilon$ ,  $\mu$  — диэлектрическая и магнитная проницаемость среды;  $\sigma$  — ее электропроводность;  $\varepsilon_0$ ,  $\mu_0$  — диэлектрическая и магнитная проницаемость вакуума [7]. Поле датчика в диэлектрике считаем квазистационарным в том смысле, что волновыми процессами в средах 1 и 3 можно пренебречь. Это упрощение вполне оправданно, если выполняется условие  $L \ll ct$  ( $L$  и  $t$  — характерные размер и время системы;  $c$  — скорость света). В проводящей среде будем считать  $\mu = 1$  и рассматривать только те процессы, которые обусловлены наличием проводимости, т. е., так же как в диэлектриках, токами смещения пренебрегаем.

Таким образом, вне проводника ( $\sigma = 0$ ) имеем

$$\Delta \mathbf{A} = -\mu_0 \mathbf{j}_{(e)}, \quad (2.1)$$

а для проводника ( $\mathbf{j}_{(e)} = 0$ )

$$\Delta \mathbf{A} = \mu_0 \sigma \frac{\partial \mathbf{A}}{\partial t}. \quad (2.2)$$

*Решение уравнения Гельмгольца для области 1 (диэлектрик).* Воспользуемся цилиндрической системой координат  $(\rho, \varphi, z)$  с осью  $z$ , связанной с проводником и направленной нормально к нему и совпадающей с осью витка. Начало координат поместим на поверхность проводника (рис. 1). Считаем, что диаметр сечения витка мал по сравнению с радиусом витка  $R_1$ , иными словами, ток течет вдоль линии с координатами  $\rho = R_1$ ,  $z = h$ . Используя дельта-функцию Дирака, выражение для плотности тока запишем в виде

$$\mathbf{j}_{(e)} = I_0 \delta(z - h) \delta(\rho - R_1). \quad (2.3)$$

В силу осевой симметрии задачи вектор-потенциал также имеет только  $\varphi$ -компоненту и от угла  $\varphi$  не зависит, т. е.  $A = A_\varphi$ . Тогда уравнение (2.1) в цилиндрических координатах принимает вид (см., например, [7])

$$\frac{1}{\rho} \frac{\partial}{\partial \rho} \left( \rho \frac{\partial A}{\partial \rho} \right) + \frac{\partial^2 A}{\partial z^2} - \frac{A}{\rho^2} = -\mu_0 j_{(e)}. \quad (2.4)$$

В соответствии с методикой [7, 8] уравнение (2.4) можно решить, применяя интегральное преобразование Фурье — Бесселя с ядром в виде функции Бесселя первого порядка. Формула преобразования имеет вид

$$A^* = \int_0^\infty \rho J_1(\lambda \rho) A(\rho, z) d\rho, \quad (2.5)$$

где  $\lambda$  — параметр преобразования. Применив преобразование (2.5) к обеим частям уравнения (2.4), получим

$$\frac{d^2 A^*}{dz^2} - \lambda^2 A^* = -\mu_0 j_{(e)}^*,$$

где  $A^*$  является функцией только координаты  $z$ ;  $j_{(e)}^*$  — преобразованная плотность тока. Общее решение этого уравнения можно представить в виде

$$A^* = \frac{\mu_0}{2\lambda} \left[ e^{\lambda z} \left( B - \int_0^z j_{(e)}^* e^{-\lambda \xi} d\xi \right) + e^{-\lambda z} \left( C + \int_0^z j_{(e)}^* e^{\lambda \xi} d\xi \right) \right], \quad (2.6)$$

где  $\xi$  — переменная интегрирования вдоль направления  $z$ ;  $B, C$  — величины, не зависящие от  $z$  и определяемые из граничных условий.

При  $z \rightarrow \infty$  поле должно быть ограниченным. Это возможно при условии

$$B = \int_0^\infty j_{(e)}^* e^{-\lambda \xi} d\xi.$$

Учитывая соотношение (2.3), получим

$$j_{(e)}^* = \int_0^\infty \rho J_1(\lambda \rho) j_{(e)}(\rho, z) d\rho = I_0 \int_0^\infty \rho J_1(\lambda \rho) \delta(\rho - R_1) \delta(z - h) d\rho = I_0 R_1 J_1(\lambda R_1) \delta(z - h),$$

$$B = I_0 R_1 J_1(\lambda R_1) \int_0^\infty \delta(\xi - h) e^{-\lambda \xi} d\xi = I_0 R_1 J_1(\lambda R_1) e^{-\lambda h}.$$

В [8] показано, что неизвестная величина  $C = B\varphi_1$ , а с учетом того, что

$$\int_0^z j_{(e)}^*(\lambda, \xi) e^{-\lambda \xi} d\xi = \begin{cases} 0, & z < h, \\ I_0 R_1 J_1(\lambda R_1) e^{-\lambda h}, & z > h, \end{cases}$$

$$\int_0^z j_{(e)}^*(\lambda, \xi) e^{+\lambda \xi} d\xi = \begin{cases} 0, & z > h, \\ I_0 R_1 J_1(\lambda R_1) e^{\lambda h}, & z < h, \end{cases}$$

выражение (2.6) принимает вид

$$A_1^* = \mu_0(e^{-\lambda|z-h|} + \varphi_1 e^{-\lambda(z+h)})I_0 R_1 J_1(\lambda R_1)/(2\lambda). \quad (2.7)$$

Очевидно, что задача нахождения поля в области 1 сводится к отысканию вида функции  $\varphi_1$ .

Для определения  $\varphi_1$  используются известные граничные условия [7, 8] для вектор-потенциала магнитного поля и его производной по  $z$ , которые остаются справедливыми для соответствующих величин, полученных с помощью интегральных преобразований различного рода.

В области 1 для  $z < h$

$$A_1^* = K_\lambda(e^{-\lambda(h-z)} + \varphi_1 e^{-\lambda(h+z)}), \quad (2.8)$$

где  $K_\lambda = \mu_0 I_0 R_1 J_1(\lambda R_1)/(2\lambda)$ ;  $h = h_0 - ut$ . Тогда

$$A_1^* = K_\lambda(e^{-\lambda(h_0-z)} e^{\lambda ut} + e^{-\lambda(h_0+z)} \Phi_1(t)), \quad \frac{dA_1^*}{dz} = \lambda K_\lambda(e^{-\lambda(h_0-z)} e^{\lambda ut} - e^{-\lambda(h_0+z)} \Phi_1(t)), \quad (2.9)$$

где  $\Phi_1 = \varphi_1 e^{\lambda ut}$ .

Применив преобразование Лапласа [9] к обеим частям уравнений (2.9), получим уравнения

$$\begin{aligned} L[A_1^*] &= \frac{K_\lambda e^{-\lambda(h_0-z)}}{s - \lambda u} + K_\lambda e^{-\lambda(h_0+z)} L[\Phi_1(t)], \\ L\left[\frac{dA_1^*}{dz}\right] &= \frac{\lambda K_\lambda e^{-\lambda(h_0-z)}}{s - \lambda u} - \lambda K_\lambda e^{-\lambda(h_0+z)} L[\Phi_1(t)]. \end{aligned} \quad (2.10)$$

Решение уравнения Гельмгольца для области 2 (проводник). Уравнение (2.2) в цилиндрических координатах имеет вид

$$\frac{1}{\rho} \frac{\partial}{\partial \rho} \left( \rho \frac{\partial A_2}{\partial \rho} \right) + \frac{\partial^2 A_2}{\partial z^2} - \frac{A_2}{\rho^2} = \mu_0 \sigma \frac{\partial A_2}{\partial t}. \quad (2.11)$$

Применяя к уравнению (2.11) преобразование Фурье — Бесселя, получим

$$\frac{\partial^2 A_2^*}{\partial z^2} - \lambda^2 A_2^* = \mu_0 \sigma \frac{\partial A_2^*}{\partial t}. \quad (2.12)$$

Применяя к (2.12) преобразование Лапласа, имеем

$$L\left[\frac{d^2 A_2^*}{dz^2}\right] - \lambda^2 L[A_2^*] = \frac{1}{a^2} (sL[A_2^*] - A_{20}^*), \quad (2.13)$$

где  $s$  — параметр преобразования Лапласа;  $A_{20}^*$  — начальная величина преобразованного вектор-потенциала  $A_2^*$ ;  $a^2 = 1/(\mu_0 \sigma)$ . После несложных преобразований уравнения (2.13) с учетом выражения (2.7) для поля витка в свободном пространстве ( $\varphi_1 = 0$ ) получаем

$$L\left[\frac{d^2 A_2^*}{dz^2}\right] - \beta^2 L[A_2^*] = -\frac{K_\lambda}{a^2} e^{-\lambda(h_0-z)}, \quad (2.14)$$

где  $\beta^2 = (\lambda^2 a^2 + s)/a^2$ .

Из уравнения (2.14) следует

$$L[A_2^*] = A e^{\beta z} + B e^{-\beta z} + \frac{K_\lambda e^{-\lambda(h_0-z)}}{s}, \quad L\left[\frac{dA_2^*}{dz^2}\right] = A \beta e^{\beta z} - B \beta e^{-\beta z} + \frac{\lambda K_\lambda e^{-\lambda(h_0-z)}}{s}. \quad (2.15)$$

Решение уравнения Гельмгольца для области 3 (диэлектрик). В области 3 ( $j_{(e)} = 0$ ,  $\sigma = 0$ ) с помощью преобразований Фурье — Бесселя и Лапласа уравнение Гельмгольца приводится к виду

$$L\left[\frac{d^2 A_3^*}{dz^2}\right] - \lambda^2 L[A_3^*] = 0$$

и имеет решение  $L[A_3^*] = De^{\lambda z} + Ee^{-\lambda z}$ .

При  $z \rightarrow -\infty$  поле ограничено, поэтому коэффициент  $E$  должен быть равен нулю. Таким образом,

$$L[A_3^*] = De^{-\lambda z}, \quad L\left[\frac{dA_3^*}{dz}\right] = D\lambda e^{\lambda z}. \quad (2.16)$$

**3. Поле витка, расположенного над проводящими полупространством и пластиной конечной толщины, приводимыми в движение ударной волной.** Используя соотношения (2.10), (2.15) и (2.16), потребуем выполнения граничных условий для преобразованных вектор-потенциалов и их производных при  $z = 0$  и  $z = -d$  [7, 8].

Система уравнений принимает следующий вид:

$$\begin{aligned} A + B - K\lambda e^{-\lambda h_0} L[\Phi_1] &= K\lambda e^{-\lambda h_0} \left(\frac{1}{s - \lambda u} - \frac{1}{s}\right), \\ A - B + \frac{K\lambda e^{-\lambda h_0}}{\alpha} L[\Phi_1] &= \frac{K\lambda e^{-\lambda h_0}}{\alpha} \left(\frac{1}{s - \lambda u} - \frac{1}{s}\right), \end{aligned} \quad (3.1)$$

$$Ae^{-\beta d} + Be^{\beta d} + K\lambda e^{-\lambda h_0 - \lambda d}/s = De^{-\lambda d}, \quad A\alpha e^{-\beta d} - B\alpha e^{\beta d} + K\lambda e^{-\lambda h_0 - \lambda d}/s = De^{-\lambda d},$$

где  $\alpha = \beta/\lambda = \sqrt{s + \lambda^2 a^2}/(\lambda a)$ . Решая систему уравнений (3.1), находим

$$L[\Phi_1] = \frac{1 - \alpha}{1 + \alpha} \left(\frac{1}{s - \lambda u} - \frac{1}{s}\right) \left[1 + \frac{4\alpha e^{-2\beta d}}{(1 - \alpha)^2 e^{-2\beta d} - (1 + \alpha)^2}\right]. \quad (3.2)$$

В корректности полученного решения легко убедиться, так как при  $d = 0$  имеем  $L[\Phi_1] = L[\varphi_1] = 0$ , т. е. возмущение начального поля витка отсутствует.

*Проводящее полупространство* ( $d \rightarrow \infty$ ). Из (3.2) следует, что при  $d \rightarrow \infty$

$$L[\Phi_1] = \frac{1 - \alpha}{1 + \alpha} \left(\frac{1}{s - \lambda u} - \frac{1}{s}\right). \quad (3.3)$$

*Приближение идеальной проводимости.* Рассмотрим наиболее простой случай, когда электропроводность достаточно велика. Величину  $a = \sqrt{1/(\mu_0 \sigma)}$  можно устремить к нулю, а  $\alpha$  — к бесконечности (см. формулу (3.3)). Тогда  $L[\Phi_1] = 1/s - 1/(s - \lambda u)$  или после обратного преобразования Лапласа [9]  $\Phi_1 = 1 - e^{\lambda ut}$ . Учитывая, что  $\Phi_1 = \varphi_1 e^{\lambda ut}$ , получаем

$$\varphi_1 = -1 + e^{-\lambda ut}. \quad (3.4)$$

С помощью функции  $\varphi_1$  можно найти формулу для ЭДС индукции, возникающей в витке ( $z = h$ ,  $\rho = R_1$ ) после приведения в движение ударной волной поверхности идеально проводящего полупространства ( $\sigma \rightarrow \infty$ ).

Применяя обратное преобразование Фурье — Бесселя, находим истинное значение поля в области 1

$$A_1 = \int_0^\infty A_1^*(\lambda, R_1) J_1(\lambda \rho) \lambda d\lambda.$$

С учетом (2.8) получим

$$A_1 = \frac{\mu_0 R_1 I_0}{2} \left[ \int_0^\infty J_1(\lambda R_1) J_1(\lambda \rho) e^{-\lambda|z-h|} d\lambda + \int_0^\infty J_1(\lambda R_1) J_1(\lambda \rho) \varphi_1 e^{-\lambda|z+h|} d\lambda \right].$$

ЭДС индукции имеет вид

$$E(t) = -\frac{d}{dt} \oint A_1 dl = -\mu_0 I_0 \pi R_1^2 \int_0^\infty J_1^2(\lambda R_1) \left( \frac{d\varphi_1}{dt} + 2\lambda u \varphi_1 \right) e^{-2\lambda h} d\lambda \quad (3.5)$$

(интегрирование проводится вдоль контура витка). Подставляя (3.4) в (3.5) и учитывая, что

$$\int_0^\infty J_1^2(\lambda R_1) e^{-m\lambda} \lambda d\lambda = \frac{m}{\pi R_1^3} \frac{k}{4} \left[ \frac{2-k^2}{1-k^2} E(k^2) - 2K(k^2) \right]$$

( $k^2 = 1/[1 + (m/(2R_1))^2]$ ;  $E(k^2)$ ,  $K(k^2)$  — полные эллиптические интегралы первого и второго рода), можно убедиться, что выражение (3.5) совпадает с выражением для ЭДС индукции, полученным в [2] с использованием метода изображений.

*Полупространство с конечной электропроводностью.* Теперь в формуле (3.3) будем устремлять к нулю величины, пропорциональные  $a^2 = 1/(\mu_0 \sigma)$ , оставляя величины, пропорциональные  $a = 1/\sqrt{\mu_0 \sigma}$ . Получаем

$$L[\Phi_1] = \frac{1}{s} - \frac{1}{s - \lambda u} + \frac{2a\lambda}{(s - \lambda u)(a\lambda + \sqrt{s})} - \frac{2a\lambda}{s(a\lambda + \sqrt{s})}. \quad (3.6)$$

Применяя к (3.6) обратное преобразование Лапласа и соотношение  $\varphi_1 = \Phi_1 e^{-\lambda ut}$ , имеем

$$\varphi_1 = -1 + e^{-\lambda ut} + \frac{2a\lambda}{\sqrt{\lambda u}} \operatorname{erf} \sqrt{\lambda ut} - \frac{4a\lambda \sqrt{t}}{\sqrt{\pi}} e^{-\lambda ut}. \quad (3.7)$$

В соответствии с (3.5) находим, что ЭДС для полупространства с конечной электропроводностью

$$E_\sigma = E_{\sigma \rightarrow \infty} - 4I_0 R_1^2 u \sqrt{\frac{\pi \mu_0 t}{\sigma}} \int_0^\infty J_1^2(\lambda R_1) \lambda^2 e^{-2\lambda h} \left\{ \sqrt{\pi} \frac{\operatorname{erf} \sqrt{\lambda ut}}{\sqrt{\lambda ut}} - e^{-\lambda ut} \right\} d\lambda. \quad (3.8)$$

Зависимость (3.8) по аналогии со случаем идеальной проводимости может быть представлена в виде  $E_\sigma = I_0 \alpha_\sigma u$ . Для количественной оценки зависимости  $\alpha_\sigma(t)$  при известной массовой скорости можно использовать начальное значение электропроводности металла. Более точные данные можно получить с помощью измерений электропроводности металла в близких условиях нагружения с использованием известных методов [10, 11], в частности метода тонких пластин.

*Сопоставление с экспериментом.* В работе [2] для сравнительных исследований выбран свинец, начальная удельная электропроводность которого примерно в 10 раз меньше электропроводности меди. Выполнено две серии опытов. В первой серии плоская ударная волна прямоугольного профиля из алюминиевого экрана (толщиной 10 мм) взрывного устройства (диаметром 120 мм) вводилась последовательно в свинцовый образец, а затем в образец из полиметилметакрилата. Толщина образцов составляла 5 и 6 мм соответственно, их диаметр — 100 мм. Сигнал регистрировался датчиком — катушкой индуктивности,

состоящей из 8 витков изолированного медного провода диаметром 1 мм со средним радиусом  $R_N \simeq 16$  мм; толщина и ширина оболочки составляют 2,5 и 5 мм. В этом случае ЭДС увеличивается в  $N^2$  раз [2].

Вторая серия опытов отличалась от первой тем, что на границу раздела свинец — диэлектрик помещалась медная пластина диаметром 100 мм и толщиной 0,3 мм, достаточно быстро приобретающая скорость этой границы, что позволило определить массовую скорость границы раздела свинца с полиметилметакрилатом [2]. В опытах использовались два типа взрывных устройств I и II с известными параметрами ударной волны за ее фронтом в алюминиевом экране, обеспечивающими исходные давления в образце из свинца 41; 79 ГПа, в образце из полиметилметакрилата 10; 20 ГПа соответственно.

На рис. 2 расчетная зависимость  $\alpha_\sigma(\xi)$  для идеального проводника (кривая 1) и результаты расчетов по формуле (3.8) для меди (кривая 2) сопоставляются с экспериментальными данными для свинца (кривые 3, 4 для взрывных устройств II и I соответственно). При смещении  $\xi = 2$  мм значение  $\alpha_\sigma$  для идеального проводника на 1% превышает значение  $\alpha_\sigma$  для меди. С помощью соотношения (3.8) для опытов со свинцом оценены динамические значения электропроводностей, которые для кривых 3 и 4 составляют  $4,3 \cdot 10^6$  и  $4,1 \cdot 10^6$  (Ом · м) $^{-1}$ . Степень соответствия расчетных значений электропроводностей экспериментальным кривым отражают точки на рис. 2.

*Пластина конечной толщины.* Перейдем к приближенному анализу части решения (3.2), зависящей от толщины металлической пластины:

$$L[\Delta\Phi_1] = \frac{1-\alpha}{1+\alpha} \left( \frac{1}{s-\lambda u} - \frac{1}{s} \right) \frac{4\alpha e^{-2\beta d}}{(1-\alpha)^2 e^{-2\beta d} - (1+\alpha)^2}. \quad (3.9)$$

Будем считать, что  $(1-\alpha)/(1+\alpha) \simeq -1$ . В правой части выражения (3.9), содержащей члены с толщиной проводящей пластины  $d$ , будем устремлять к нулю лишь величины, пропорциональные  $a^2 = 1/(\mu_0\sigma)$ , оставляя величины, содержащие  $a = 1/\sqrt{\mu_0\sigma}$ . При этом

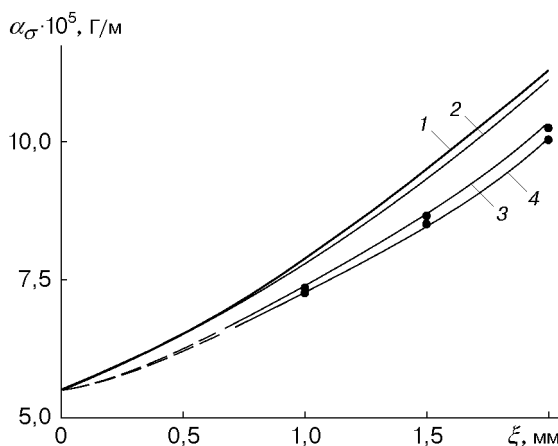


Рис. 2

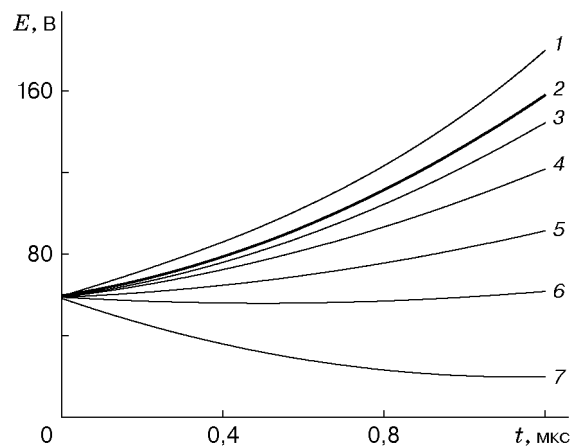


Рис. 3

Рис. 2. Расчетные зависимости  $\alpha_\sigma(\xi)$  для идеально проводящего полупространства (1) и полупространства из меди (2) и экспериментальные зависимости для пластин из свинца (3, 4)

Рис. 3. Расчетные зависимости  $E(t)$  для пластин различной толщины  $d_0$  с конечной электропроводностью  $\sigma$ :

1 —  $\sigma \rightarrow \infty$ ; 2 —  $d_0 \rightarrow \infty$ ; 3–7 —  $d_0 = 0,20; 0,10; 0,05; 0,03; 0,01$  мм



соотношение (3.9) принимает вид

$$L[\Delta\varphi_d] = \frac{-4a\lambda \exp(-2d\sqrt{s}/a)/(s - \lambda u) + 4a\lambda \exp(-2d\sqrt{s}/a)/s}{\sqrt{s}(\exp(-2d\sqrt{s}/a) - 1) - 2a\lambda(\exp(-2d\sqrt{s}/a) + 1)}. \quad (3.10)$$

Обратное преобразование Лапласа для  $L[\Delta\varphi_d]$  (3.10) приводит к интегральному уравнению Вольтерры первого рода типа свертки [9]

$$\begin{aligned} & \int_0^t \Delta\varphi_d(\tau) \exp(\lambda u \tau) \left\{ \frac{\exp(-d^2/[a^2(t - \tau)]) - 1}{\sqrt{\pi}(t - \tau)} - 2a\lambda \left[ 1 + \operatorname{erfc}\left(\frac{d}{a\sqrt{t - \tau}}\right) \right] \right\} d\tau = \\ & = 4a\lambda \int_0^t \operatorname{erfc}\frac{d}{a\sqrt{\tau}} d\tau - 2a\lambda \int_0^t \exp(\lambda u \tau) \left\{ \exp\left(-\frac{2d}{a}\sqrt{\lambda u}\right) \operatorname{erfc}\left(\frac{d}{a\sqrt{\tau}} - \sqrt{\lambda u \tau}\right) + \right. \\ & \quad \left. + \exp\left(\frac{2d}{a}\sqrt{\lambda u}\right) \operatorname{erfc}\left(\frac{d}{a\sqrt{\tau}} + \sqrt{\lambda u \tau}\right) \right\} d\tau. \quad (3.11) \end{aligned}$$

Функции  $\Delta\varphi_d(t)$ , определенные для пластин различной толщины и электропроводности, близкой к электропроводности свинца, численно рассчитаны Я. К. Хисамдиновым и А. А. Трусниковым. В расчетах интегралы в левой и правой частях интегрального уравнения (3.11) заменяются суммами, что делает возможным переход к системе алгебраических уравнений [12]. Пример зависимостей  $E(t)$ , соответствующих  $\varphi_1$  по (3.7) с дополнительными членами  $\Delta\varphi_d$ , определенными из (3.11), представлен на рис. 3. Исходные параметры следующие:  $\sigma = 5,865 \cdot 10^6$  (Ом·м)<sup>-1</sup>,  $u = 2,7 \cdot 10^3$  м/с,  $I_0 = 500$  А,  $N = 8$ ,  $R_N = 16 \cdot 10^{-3}$  м,  $h_0 = 8,25 \cdot 10^{-3}$  м,  $\delta = 1,2$ .

*Эксперименты с медными и алюминиевыми пластинами конечной толщины.* Если толщина пластины достигает значений, меньших толщины поверхностного токового слоя в металле, то начинает проявляться эффект диффузии через нее магнитного поля, что приводит к снижению регистрируемого сигнала. Влияние этого эффекта на сигнал изучалось в серии опытов на примере меди и алюминия [2]. Толщина пластины (фольги) при ее диаметре не менее 100 мм изменялась от 0,01 до 0,3 мм. Диэлектрическая среда, в которую помещалась фольга (полиметилметакрилат), подвергалась нагружению плоской ударной волной прямоугольного профиля. Установлено, что при давлении в диэлектрике

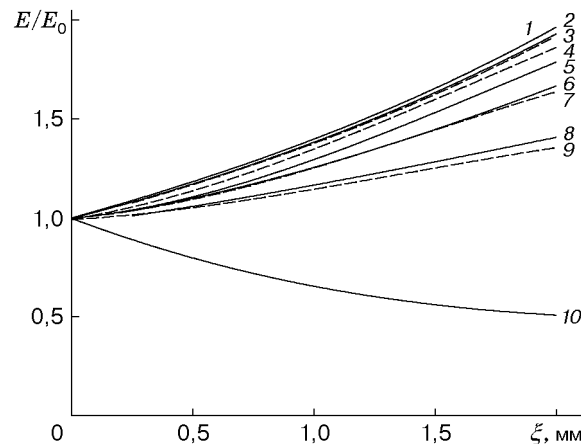


Рис. 4. Сглаженные экспериментальные зависимости  $E/E_0(\xi)$  для алюминиевых и медных пластин различной толщины  $d_0$  [мм]:

1 —  $\sigma \rightarrow \infty$ ; 2 — 0,20 (Cu); 3 — 0,30 (Al); 4 — 0,10 (Cu); 5 — 0,10 (Al); 6 — 0,05 (Al); 7 — 0,03 (Cu); 8 — 0,03 (Al); 9 — 0,015 (Cu); 10 — 0,01 (Al)

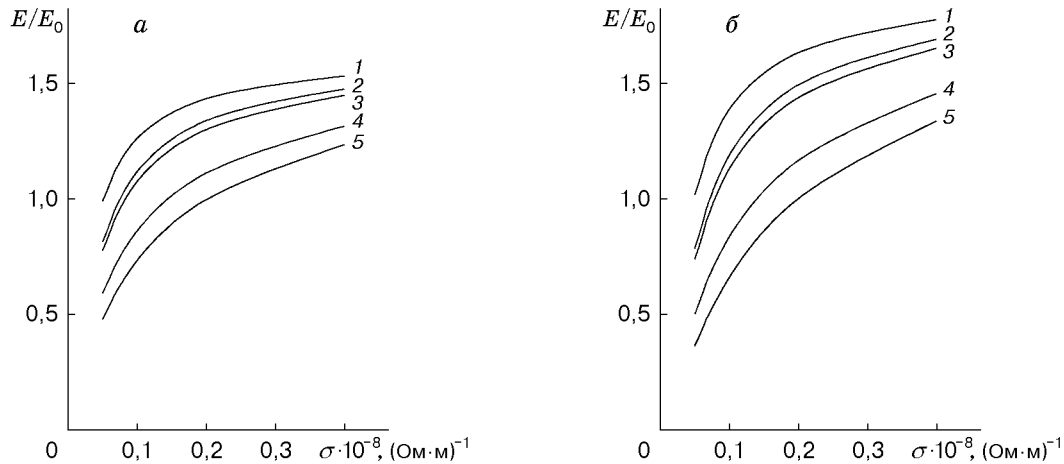


Рис. 5. Расчетные зависимости отношения  $E/E_0(\sigma)$  при  $t = 0,6$  мкс (*а*) и  $t = 0,8$  мкс (*б*) для алюминиевых и медных пластин различной толщины  $d_0$  [мм]:  
 1 — 0,05 (Al); 2 — 0,03 (Cu); 3 — 0,03 (Al); 4 — 0,015 (Cu); 5 — 0,01 (Al)

$P \simeq 20$  ГПа сигнал практически не зависит от толщины фольги, если ее величина не менее 0,1 мм для меди и 0,2 мм для алюминия. При давлении в диэлектрике  $P \simeq 60$  ГПа критическая толщина медной и алюминиевой фольги составляет 0,2 и 0,3 мм соответственно.

На рис. 4 представлены экспериментальные зависимости  $E/E_0$  от смещения  $\xi = ut$  для медной и алюминиевой фольги различной толщины  $d_0$ . В экспериментах в качестве диэлектрика применялся полиметилметакрилат, параметры нагружения:  $u = 2,45 \cdot 10^{-3}$  м/с,  $P = 18,5$  ГПа. В качестве датчика использовалась катушка индуктивности с числом витков  $N = 8$  и средним радиусом  $R_N = 15,85 \cdot 10^{-3}$  м. Расстояние от проводящей поверхности до среднего сечения катушки составляло  $h_0 = 8,16 \cdot 10^{-3}$  м, сила тока  $I_0 = 500$  А. Из сравнительного анализа рис. 3 и 4 следует, что расчетные и экспериментальные зависимости  $E/E_0$  от величины  $\xi$  качественно аналогичны.

Была предпринята попытка определения динамических значений электропроводности меди и алюминия для условий нагружения, приведенных выше. С использованием значений  $\varphi_1$ , вычисленных по формулам (3.7), и  $\Delta\varphi_d$  из (3.11) при  $t = 0,6$  мкс и  $t = 0,8$  мкс получены расчетные зависимости  $E/E_0$  от электропроводности  $\sigma$  (рис. 5, *а, б* соответственно) для экспериментов с фольгой различной толщины  $d_0$ . Динамические значения электропроводности для меди по сравнению с начальным уменьшились при  $d_0 = 0,015; 0,03$  мм примерно в 1,9 раза, для алюминия при  $d_0 = 0,03; 0,05$  мм — в 2,1 раза, при  $d_0 = 0,01$  мм — в 6 раз.

**Заключение.** Представленные в работе расчетные зависимости для определения скорости металлических пластин достаточно большой (в электромагнитном смысле) толщины с учетом конечности их электропроводности способствуют развитию индукционного метода измерения массовых скоростей конденсированных веществ [2].

В работе продемонстрирована возможность бесконтактных измерений электропроводности металлов в ударно-волновых процессах. На данном этапе исследований обоснованная интерпретация полученных расчетно-экспериментальных результатов по оценке динамических значений электропроводности затруднена. Она станет возможной после усовершенствования электромагнитной модели, оценки погрешности измерений электропроводности и определения области применимости расчетных зависимостей.

## ЛИТЕРАТУРА

1. **А. с. 468150 СССР, G 01p3/42.** Индукционный датчик для регистрации кратковременных процессов / Ю. Н. Жугин, К. К. Крупников. № 1861600; Заявл. 25.12.72; Оpubл. 25.04.75; Бюл. № 15; Приоритет 25.12.72.
2. **Жугин Ю. Н., Крупников К. К.** Индукционный метод непрерывной регистрации скорости конденсированной среды в ударно-волновых процессах // ПМТФ. 1983. № 1. С. 102–108.
3. **Fritz J. N., Morgan J. A.** An electromagnetic technique for measuring material velocity // Rev. Sci. Instrum. 1973. V. 44, N 2. P. 215–221.
4. **Бюргерс Ж. М.** Проникание ударной волны в магнитное поле. Магнитная гидродинамика (материалы симпозиума). М.: Атомиздат, 1958.
5. **Шерклиф Дж.** Курс магнитной гидродинамики. М.: Мир, 1967.
6. **Забабахин Е. И., Нечаев М. Н.** Ударные волны поля и их кумуляция // Журн. эксперим. и теорет. физики. 1957. Т. 33, вып. 2. С. 442–450.
7. **Гринберг Г. А.** Избранные вопросы математической теории электрических и магнитных явлений. М.; Л.: Изд-во АН СССР, 1948.
8. **Соболев В. С., Шкарлет Ю. М.** Накладные и экранные датчики. Новосибирск: Наука. Сиб. отд-ние, 1967.
9. **Диткин В. А., Прудников А. П.** Справочник по операционному исчислению. М.: Высш. шк., 1965.
10. **Килер Р.** Электропроводность конденсированных сред при высоких давлениях // Физика высоких плотностей энергии: Сб. ст. / Пер. с англ. М.: Мир, 1974. С. 120–143.
11. **Гончаров А. И., Родионов В. Н.** Электросопротивление меди и алюминия при ударно-волновых нагрузениях // Тез. докл. II Всесоюз. конф. “Лаврентьевские чтения по математике, механике и физике”, Киев, 9–11 сент. 1985 г. Киев: Наук. думка, 1985. С. 72, 73.
12. **Краснов М. Л., Киселев А. И., Макаренко Г. И.** Интегральные уравнения. М.: Наука, 1968.

*Поступила в редакцию 10/XI 1999 г.,  
в окончательном варианте — 25/I 2000 г.*

---